

О ВОЗМОЖНОСТИ ОПРЕДЕЛЕНИЯ ПАРАМЕТРОВ  
ОПТИЧЕСКИ ПЛОТНОЙ НЕОДНОРОДНОЙ  
НИЗКОТЕМПЕРАТУРНОЙ ПЛАЗМЫ  
ПО ИНТЕГРАЛЬНЫМ ИНТЕНСИВНОСТЯМ ИЗЛУЧЕНИЯ  
САМООБРАЩЕННЫХ ЛИНИЙ

И. А. Васильева, Б. Я. Шумяцкий, Д. Н. Юндев

В работе проводится анализ влияния пространственной неоднородности оптически плотной плазмы на определение распределения температуры методом относительных интегральных интенсивностей излучения линии. Показано, что возможность применения метода определяется вариацией функции отклонения при переходе с одного направления наблюдения на другое. Получено аналитическое выражение для функции отклонения с помощью введенных в работе параметров неоднородности. В качестве примера показана возможность применения этого метода для диагностики низкотемпературной химически реагирующей плазмы продуктов сгорания.

Исследование характеристик равновесной плазмы по интегральным интенсивностям излучения линий играет не менее важную роль, чем с помощью контуров тех же линий, особенно в тех случаях, когда объектом исследования является плазма в установках промышленного и полупромышленного типа. Однако в таких установках (МГД генераторы, плазмотроны, горелки Меккера и т. п.) плазма обычно пространственно неоднородна и возможность ее оптической диагностики по интегральным характеристикам излучения реализуется, если имеется связь между параметрами плазмы, например, в области с однородным распределением температуры по направлению наблюдения, и интегральной интенсивностью излучения линии по этому направлению наблюдения. Эту связь дает модельная теория интегральной интенсивности для неоднородной плазмы, развитая Преображенским [1] при использовании им моделей Коуэна—Дике [2], Бартельса [3] и модели с обобщенной функцией источника [4-6].

В настоящей работе сделана попытка учесть аналитическим путем влияние пространственной неоднородности на определение распределения температуры методом относительных интегральных интенсивностей самообращенных линий в оптически плотной плазме, для которой выполняется закон Кирхгофа. Некоторые применения этого метода изложены в [7, 8].

Использование вышеуказанных моделей неоднородной плазмы и конкретизация соответствующих им аналитических выражений для интегральной интенсивности в рассматриваемом нами случае выполнения закона Кирхгофа являются затруднительными, и анализ влияния неоднородности плазмы на интегральные характеристики излучения проводится несколько иным способом. Отличие заключается, во-первых, в том, что сначала находится общее выражение для интегральной интенсивности излучения линии, а затем вводятся параметры, характеризующие неоднородность источника, и, во-вторых, в выборе этих параметров.

Выражение для интегральной интенсивности излучения линии симметричного источника в случае, когда выполняется закон Кирхгофа, в безразмерных координатах, имеет вид



$$I = \int_{-\infty}^{\infty} J(u) du = \int_{-\infty}^{\infty} du \left\{ 2l_0 e^{-l_0 \int_0^{1/2} \kappa(u, x') dx'} \times \right. \\ \left. \times \int_0^{1/2} \kappa(u, x) B(u, x) \operatorname{ch} \left[ l_0 \int_0^x \kappa(u, x') dx' \right] dx \right\}, \quad (1)$$

где  $l_0$  — общая толщина плазмы,  $x = (2l - l_0)/2l_0$  — безразмерная координата,  $\kappa(u, x)$  — локальный коэффициент поглощения излучения,  $B(u, x)$  — планковская спектральная яркость излучения,  $u = \nu - \nu_0$  — текущее значение частоты,  $\nu_0$  — частота центра линии.

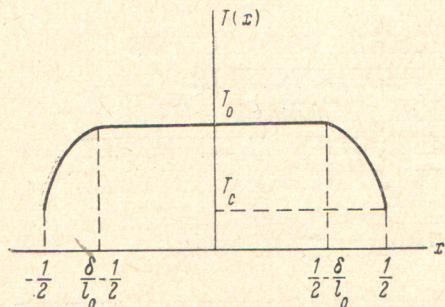


Рис. 1. Распределение температуры в источнике излучения на пути излучения к приемнику.

$T_0$  — температура ядра плазмы,  $T_c$  — температура на границе плазмы (на стенке),  $x$  — безразмерная координата,  $\delta$  — толщина области неоднородности (пограничного слоя),  $l_0$  — общая толщина плазмы по данному направлению наблюдения.

Так как в случае выполнения закона Кирхгофа локальный коэффициент поглощения зависит только от температуры и частоты, то интегральная интенсивность характеризуется только распределением температуры по направлению наблюдения, которое в рассматриваемом случае имеет вид, показанный на рис. 1.

Введем следующие обозначения:

$$\frac{B(u, x)}{B(u, 0)} = \varphi(u, x), \quad \frac{I}{B(u, 0)} = A, \quad (2)$$

а также учтем, что  $B(u, x)$  слабо меняется на ширине линии:  $B(u, x) \simeq B(0, x) = B(x)$ . Полученное выражение для  $A$

$$A = \int_{-\infty}^{\infty} du \int_0^{1/2} 2l_0 e^{-l_0 \int_0^{1/2} \kappa(u, x') dx'} \kappa(u, x) \varphi(x) \operatorname{ch} \left[ l_0 \int_0^x \kappa(u, x') dx' \right] dx \quad (3)$$

проинтегрируем сначала по  $u$ . Из выражения (3) следует, что это возможно, если функция, описывающая контур коэффициента поглощения  $\kappa(u, x)$ , представима в виде произведения двух других функций  $\psi(u)$  и  $\alpha(x)$

$$\kappa(u, x) = \psi(u) \alpha(x). \quad (4)$$

Выражение (4) справедливо для крыльев смешанного и чисто дисперсионного контура<sup>[3]</sup>, причем

$$\psi(u) = u^{-2}. \quad (5)$$

Подставив в (3) значение  $\psi(u)$  из (5) и вводя новые переменные интегрирования

$$u_1 = \sqrt{l_0 \int_0^{1/2} \alpha(x') dx' - l_0 \int_0^x \alpha(x') dx'} / u$$

и

$$u_2 = \sqrt{l_0 \int_0^{1/2} \alpha(x') dx' + l_0 \int_0^x \alpha(x') dx'} / u,$$

вычисление интеграла в (3) можно свести к известному интегралу  $\int_0^{\infty} e^{-x^2} dx = \sqrt{\pi}/2$ . Интегрирование выражения (3) при использовании (5)



без выбрасывания области вблизи  $u=0$  является законным, так как подынтегральная функция имеет в этой точке разрыв первого рода, а интеграл сходится.

При вычислении выражения (3) считалось, что форма линии излучения симметрична относительно центра линии. В результате получаем

$$A = \int_0^{1/2} \sqrt{\pi l_0 \alpha_0} \varphi(x) \beta(x) \left[ \frac{1}{\sqrt{\int_0^{1/2} \beta(x') dx' - \int_0^x \beta(x') dx'}} + \frac{1}{\sqrt{\int_0^{1/2} \beta(x') dx' + \int_0^x \beta(x') dx'}} \right] dx, \quad (6)$$

где  $\alpha_0 = \alpha(0)$ ,  $\beta(x) = \alpha(x)/\alpha_0$ .

Полученное выражение можно использовать в области значений  $x(u, x)$ , определяемой соотношением [1]:  $x_0 l_0 \geq 15$ , где  $x_0$  — максимальный коэффициент поглощения линии с чисто доплеровской полушириной. В этой области линия значительно самообращена, а приращение ее интегральной интенсивности с ростом оптической плотности  $x_0 l_0$  практически полностью обусловлено крыльями контура, распределение интенсивности в которых подчиняется формуле (5). В этой области тангенс угла наклона кривых роста для неоднородной плазмы, вводимых в [1], равен 0.5 и лишь в некоторых случаях несколько превышает это значение при  $x_0 l_0 \geq 100$ .

В качестве подтверждения вышесказанного на рис. 2 приведены результаты расчетов на ЭВМ профилей резонансной D-линии натрия  $5890 \text{ \AA}$ , излучаемой неоднородной плазмой продуктов сгорания природного газа в воздухе с добавками солей щелочных металлов. При расчете кривых 1, 3 считалось, что форма контура коэффициента поглощения обусловлена

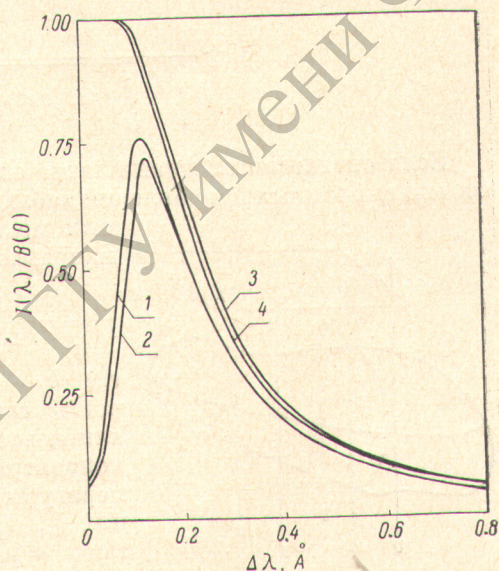


Рис. 2. Контур излучения линии натрия  $5890 \text{ \AA}$  (половина).

1, 2 —  $t=0.312$ , 3, 4 —  $t=0$ ;  $\Delta\lambda$  — расстояние от центра линии.

совместным действием доплеровского уширения и уширения, обусловленного столкновениями атомов натрия с молекулами продуктов сгорания, сечение которого составляет  $84.5 \cdot 10^{-16} \text{ см}^2$ . Кривые же 2, 4 рассчитаны с помощью формулы (5). Температура ядра плазмы  $T_0=2600^\circ \text{ К}$ , температура на границе  $T_c=500^\circ \text{ К}$ , парциальное давление соединений натрия  $P_{\text{Na}_2}=0.35 \cdot 10^{-5} \text{ атм}$ . Параметр  $t=2\delta/l_0$  (рис. 1) составляет 0 и 0.312,  $l_0=6.4 \text{ см}$ . Распределение температуры в области неоднородности описывается турбулентным профилем [11]. Видно, что формы линии излучения для соответствующих значений температур практически совпадают. Рассчитанные на ЭВМ значения величины  $A$  для кривых 1 и 2 составили 0.47 и 0.49. Как будет показано ниже, отличие, составляющее приблизительно 4%, не оказывает сколько-нибудь существенного влияния



на применимость метода. Аналогичный результат получается и при  $t=0$  (кривые 3, 4).

Выражение (6) переходит в известную формулу Райхе для полного поглощения [9] в случае однородной в направлении наблюдения плазмы. Действительно, в этом случае  $\alpha_0 \sim n$ , где  $n$  — концентрация поглощающих атомов,  $\beta(x) \equiv 1$  и  $\varphi(x) \equiv 1$ , тогда получаем:  $A_{\text{одн.}} = \text{const} \sqrt{\pi n l_0}$ .

В случае неоднородной плазмы вводят функцию отклонения

$$D = \frac{A_{\text{одн.}} - A}{A_{\text{одн.}}} 100\%, \quad (7)$$

характеризующую влияние неоднородности плазмы на наблюдаемую интегральную интенсивность излучения линии. В дальнейшем будет удобнее пользоваться величиной  $d=1 - (D/100)$ , которая при помощи (6) представляется в виде интеграла

$$d = \int_0^{1/2} \varphi(x) \beta(x) \left[ \frac{1}{\sqrt{\int_0^{1/2} \beta(x') dx' - \int_0^x \beta(x') dx'}} + \frac{1}{\sqrt{\int_0^{1/2} \beta(x') dx' + \int_0^x \beta(x') dx'}} \right] dx. \quad (8)$$

Если оптически плотная плазма однородна по каждому из двух произвольно выбранных направлений наблюдения  $a$  и  $b$ , то отношение интегральных интенсивностей, излучаемых по этим направлениям, будет равно

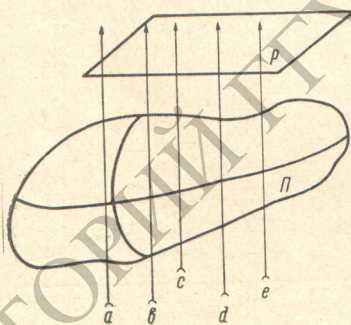


Рис. 3.

$P$  — плазма,  $R$  — плоскость регистрации,  $a, b, c, d, \dots$  — направления наблюдения.

$$\frac{I_a}{I_b} = \frac{A_a B_a}{A_b B_b} \approx \sqrt{\frac{n_a l_a}{n_b l_b}} \exp \left[ -\frac{hc}{k \lambda_0} \left( \frac{1}{T_a} - \frac{1}{T_b} \right) \right], \quad (9)$$

где  $k$  — постоянная Больцмана,  $c$  — скорость света,  $h$  — постоянная Планка,  $\lambda_0$  — длина волны центра линии,  $n_a, n_b, T_a, T_b$  — концентрации поглощающих атомов и температуры по направлениям наблюдения  $a$  и  $b$ ,  $l_a, l_b$  — толщина плазмы в направлениях  $a$  и  $b$  соответственно.

Из выражения (9) по экспериментально найденным значениям  $I_a/I_b, l_a, l_b$  и известной зависимости концентрации поглощающих атомов от температуры  $n(T)$  можно определить величину  $(1/T_a) - (1/T_b)$ , т. е. найти

относительное распределение температуры в источнике излучения в сечении, перпендикулярном направлениям наблюдения  $a, b, \dots$  (рис. 3).

Для неоднородной в произвольно выбранных направлениях наблюдения  $a$  и  $b$  оптически плотной плазмы из выражений (6) ÷ (8) легко можно получить

$$\frac{I_a}{I_b} = \frac{d_a}{d_b} \sqrt{\frac{n_{0a} l_a}{n_{0b} l_b}} \exp \left[ -\frac{hc}{k \lambda_0} \left( \frac{1}{T_{0a}} - \frac{1}{T_{0b}} \right) \right], \quad (10)$$

где  $d_a, d_b$  характеризуют функции отклонения для соответствующих направлений наблюдений  $a$  и  $b$ ;  $n_{0a}, n_{0b}, T_{0a}, T_{0b}$  — концентрации поглощающих атомов и температуры в области с максимальной температурой по направлениям  $a$  и  $b$  соответственно.

Если функция отклонения для неоднородной плазмы заранее неизвестна, то возможность применения формулы (10) и в целом метода относительных



интегральных интенсивностей для нахождения температурных полей определяет степень изменения ее при переходе с одного направления наблюдения на другое. Если  $d_a = d_b$ , то выражение (10) автоматически переходит в (9) с той лишь разницей, что величины  $n_a, n_b, T_a, T_b$  относятся теперь к областям с максимальными температурами по направлениям  $a$  и  $b$ . Если же  $d_a \neq d_b$ , то определение распределения температуры можно вести тоже при помощи (9), но при этом с какой-то ошибкой, которая зависит от величины изменения функции отклонения при переходе с одного направления наблюдения на другое. Зависимость ошибки  $\Delta T_b$  в определении  $T_{0b}$  при известных  $T_{0a}$  и  $I_a/I_b$  от величины  $d_{ab} = d_a/d_{bb}$  можно получить из формул (9) и (10)

$$\Delta T_b = \frac{T_{0b}^2}{hc} k \lambda_0 \ln d_{ab} \quad (11)$$

при условии, что  $n(T_{0b}) \simeq n(T_{0b} \pm \Delta T_b)$  и  $T_{0b} \gg \Delta T_b$ . Например, для  $\lambda_0 = 5890 \text{ \AA}$ ,  $\Delta T_b = \pm 25^\circ \text{ K}$ ,  $T_{0b} = 2600^\circ \text{ K}$  мы получаем, что  $0.91 \leq d_{ab} \leq 1.09$ .

Резюмируя вышеизложенное, можно отметить, что применение метода относительных интегральных интенсивностей реабсорбированных линий излучения дает незначительные погрешности в тех случаях, когда величина  $d_{ab}$  близка к единице независимо от того, однородна или нет плазма в направлении наблюдения. Как будет показано ниже, это реализуется для потока плазмы в канале прямоугольной формы.

Вернемся к выражению (8). При наличии локального термодинамического равновесия неоднородности плазмы характеризуется двумя основными величинами: параметром  $t = 2\delta/l_0$  и распределением температуры  $T(x)$  в области неоднородности. Воспользоваться, однако, аппроксимацией только для  $T(x)$  не удастся, ввиду того что  $\varphi(x)$  и  $\beta(x)$  — неявные функции от температуры, причем  $\beta(T)$  в химически реагирующей плазме может иметь довольно сложную зависимость от температуры. В результате выражение (8) аналитически не интегрируется. Поэтому для приближенной аналитической оценки величины  $d$  удобным является представить  $\varphi(x)$  и  $\beta(x)$  в следующем виде:

$$\varphi(x) = \begin{cases} 1, & |x| \leq \frac{1-t}{2}; \\ \left(\frac{1-2|x|}{t}\right)^q, & \frac{1}{2} \geq |x| \geq \frac{1-t}{2}. \end{cases}$$

$$\beta(x) = \begin{cases} 1, & |x| \leq \frac{1-t}{2}; \\ \left(\frac{1-2|x|}{t}\right)^p, & \frac{1}{2} \geq |x| \geq \frac{1-t}{2}. \end{cases} \quad (12)$$

Подобные аппроксимации хорошо соответствуют реальным распределениям температуры и концентрации поглощающих атомов, наиболее часто встречающихся в рассматриваемых в настоящей работе установках. Граничные условия  $\varphi(1/2) = 0$ ,  $\beta(1/2) = 0$  хорошо выполняются, например, в химически реагирующей плазме, если для температуры на границе плазмы (рис. 1) справедливо соотношение

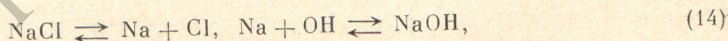
$$T_c \leq T_s \ll T_0, \quad (13)$$

где  $T_s$  — температура, при которой поглощающие атомы связываются с атомами другого вида, образуя устойчивые химические соединения. Параметр  $q$ , введенный для области неоднородности, характеризует неоднородность только в распределении температуры, а параметр  $p$  также и концентрации поглощающих атомов по направлению наблюдения. Параметры  $q$  и  $p$  по своему выбору не зависят от  $t$ . Значения  $q = p = 0$  соответствуют случаю однородной плазмы, при  $q, p \rightarrow \infty$  неоднородность плазмы возрастает. В таблице приведены в качестве примера значения параметров  $q$  и  $p$ , рассчитанные для химически реагирующей плазмы продуктов сто-



$T_c, ^\circ\text{K}$	$m$	$T_0, ^\circ\text{K}$	$P_{\text{Na}_2} \cdot 10^5, \text{ атм.}$	$q$	$p$
500	7	2600	0.35	1.09	0.2
			0.70		0.3
			2.8		0.6
	1800	0.35	1.40	1.3	
		0.70		1.4	
		2.8		1.5	
2000	1	2600	0.35	7.9	2.0
			0.70		2.2
			2.8		2.7
	1800	0.35	10.0	10.5	
		0.70		11.0	
		2.8		12.0	
2000	7	2600	0.35	0.3	0.005
			0.70		0.01
			2.8		0.025
	2200	0.35	0.45	0.035	
		0.70		0.06	
		2.8		0.08	
1	2600	0.35	1.9	0.1	
		0.70		0.22	
		2.8		0.42	
2200	0.35	0.6	0.2		
	0.70		0.32		
	2.8		0.36		

рания природного газа в воздухе с присадкой водного раствора  $\text{K}_2\text{CO}_3$  и  $\text{NaCl}$ . Излучающим элементом является натрий. При расчете зависимости концентрации атомарного натрия от температуры учитывались следующие основные химические реакции, в которые он вступает с другими компонентами:



и использовались соответствующие значения констант химического равновесия этих реакций [10]. Давление 0.5 атм., парциальное давление всех соединений натрия  $P_{\text{Na}_2} = 0.35 \cdot 10^{-5}$  атм.,  $0.7 \cdot 10^{-5}$  атм. и  $2.8 \cdot 10^{-5}$  атм. Распределение температуры в области неоднородности (пограничном слое) (рис. 1) описывается зависимостью

$$\frac{T(x) - T_c}{T_0 - T_c} = \left( \frac{1 - 2x}{t} \right)^{1/m} \quad (15)$$

В таблице приведены результаты аппроксимации для значений  $m=7$  (так называемый турбулентный профиль) [11] и  $m=1$  (линейный профиль). Максимальная температура плазмы по направлению наблюдения изменяется от  $2600^\circ$  до  $1800^\circ \text{K}$ , температура плазмы на границе — от  $500$  до  $2000^\circ \text{K}$ . Точность аппроксимации реальных распределений температуры и концентрации с помощью параметров  $q$  и  $p$  лучше 1% во всей области неоднородности, за исключением тех случаев, когда не выполняется соотношение (13). Однако даже в этих неблагоприятных случаях основная погрешность приходится на довольно узкую область близ стенки, так что, как показывают численные расчеты, влияние ее на величину интеграла (8) незначительно. В дальнейшем станет ясно также, что ни  $q$ , ни  $p$  не оказывают существенного влияния на величину функции отклонения при малых значениях параметра  $t$  (размер области неоднородности мал по сравнению с общей толщиной плазмы).

Вычислим величину  $d$  при выбранных аппроксимациях (12). Интегрируя, получаем



$$d = \sqrt{1-t + \frac{t}{2(p+1)}} - \sqrt{\frac{t}{2(p+1)}} + \sqrt{\frac{p+1}{2}} \times$$

$$\times \frac{1}{t^{\frac{p}{2}+q}} \left[ \frac{t^{\frac{p+2q+1}{2}}}{p+2q+1} + \int_{\frac{1}{2}-\frac{t}{2}}^{1/2} \frac{(1-2x)^{p+q}}{\sqrt{2(p+1)\left(1-t + \frac{t}{p+1}\right) - (1-2x)^{p+1}}} dx \right]. \quad (16)$$

Разлагая в ряд функцию  $1/\sqrt{2(p+1)[1-t+(t/p+1)]-(1-2x)^{p+1}}$  под знаком интеграла по степеням  $(1-2x)^{p+1}$  и проводя почленное интегрирование полученного ряда, после громоздких преобразований, которые мы здесь опускаем, находим

$$d = \sqrt{1-t + \frac{t}{2(p+1)}} - \sqrt{\frac{t}{2(p+1)}} + \frac{\sqrt{\frac{t}{2(p+1)}}}{1 + \frac{2q}{p+1}} +$$

$$+ \frac{\frac{t}{2(p+1)}}{2\sqrt{1 - \frac{tp}{p+1}\left(1 + \frac{q}{p+1}\right)}} \left\{ 1 + \sum_{j=1}^{\infty} \frac{1.3 \dots (2j-1)}{j! 2^j \left[1 + \frac{(p+1)j}{p+1+q}\right]} \left[ \frac{\frac{t}{2(p+1)}}{1 - \frac{tp}{p+1}} \right]^j \right\}. \quad (17)$$

Мажорирование суммы ряда в (17) с помощью выражения  $\sum_{j=1}^{\infty} (1/2^{j+1})$  дает остаток

$$R_j \leq \int_j^{\infty} \frac{1}{2^{\mu+1}} d\mu = \frac{1}{2^{j+1} \ln 2}. \quad (18)$$

Требуемая точность в вычислении  $d$  из выражения (17) определяется ошибкой в измерении температуры  $\Delta T_b$  (11). Для приведенного выше примера ( $\Delta T_b/T_{ob}=1\%$ ,  $T_{ob}=2600^\circ\text{K}$ ,  $\lambda_0=5890\text{ \AA}$ ) она составляет 0.1. В этом случае достаточно взять только три члена суммы ряда в (17). Зависимость величины  $d(p, q)$  от параметров  $q$  и  $p$  для двух значений  $t$  показана на рис. 4. В качестве примера, иллюстрирующего вышеизложенное, воспользуемся значениями  $q$  и  $p$  из таблицы при расчете  $d(p, q)$  для излучения резонансной D-линии натрия  $5890\text{ \AA}$  в неоднородной плазме продуктов сгорания, получаемой в МГД генераторах и горелках. На рис. 4 нанесены области изменения функции  $d(p, q)$  для  $t=0.2$ , соответствующие наиболее важным случаям, имеющим место в этих устройствах. Если  $T_{oa}=2600^\circ\text{K}$  и  $T_{ob}=1800^\circ\text{K}$ , то, как видно из рис. 4, в указанных случаях величина  $d_{ob}=d_a(p, q)/d_b(p, q)$  не менее 0.9, что составляет ошибку в измерении температуры не более  $25^\circ\text{K}$ . Таким образом, можно говорить о применимости формулы (9) и, метода относительных интегральных интенсивностей реabsорбированных линий в широком диапазоне условий работы вышеперечисленных устройств.

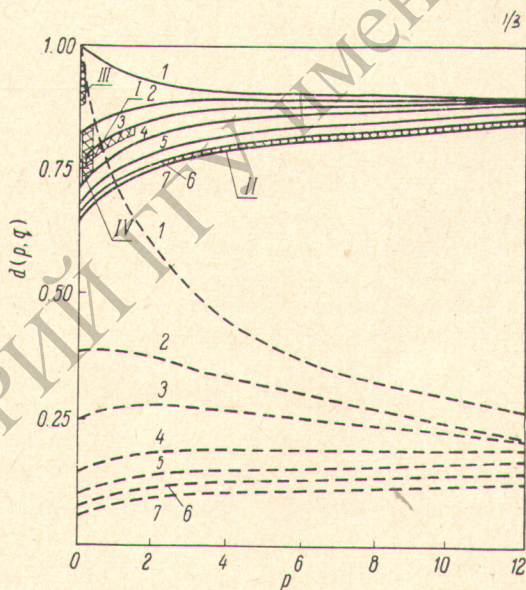


Рис. 4. Зависимость величины  $d$  от параметров  $p$  и  $q$ .

Сплошные кривые —  $t=0.2$ , штриховые кривые —  $t=1.0$ ; 1 —  $q=0$ , 2 —  $q=0.5$ , 3 —  $q=1.0$ , 4 —  $q=2.0$ , 5 —  $q=4.0$ , 6 —  $q=8.0$ , 7 —  $q=10.0$ . I —  $T_c=500^\circ\text{K}$ ,  $m=7$ , II —  $T_c=500^\circ\text{K}$ ,  $m=1$ , III —  $T_c=2000^\circ\text{K}$ ,  $m=7$ , IV —  $T_c=2000^\circ\text{K}$ ,  $m=1$ .



При рассмотрении вопроса о применимости метода для нахождения пространственного распределения параметров плазмы в других условиях можно руководствоваться соотношениями (6), (12), (17), полученными в настоящей работе. Примерная оценка функции отклонения в двух крайних для данных условий случаях даст ответ на вопрос о применимости метода интегральных интенсивностей.

#### Литература

- [1] Н. Г. Преображенский. Спектроскопия оптически плотной плазмы. Изд. «Наука», СО, Новосибирск. 1971.
- [2] R. Cowan, G. Dieke, Rev. Mod. Phys., 20, 418, 1948. (рус. перев. в сб. «Оптическая пирометрия плазмы». М., ИЛ, 1960).
- [3] H. Bartels. Zs. Phys., 125, 597, 1949.
- [4] Н. Г. Преображенский. Опт. и спектр. 17, 8, 1964.
- [5] Н. Г. Преображенский. Изв. вузов, физика, № 3, 84, 1959.
- [6] Н. Г. Преображенский. Физ. проблемы спектроскопии, 1, 90. Изд. АН СССР, М., 1962.
- [7] G. F. Hohnstreiter, S. H. Kruger, R. M. Evans, M. Mitchell. Electricity from MHD, Vienna, vol. 1, 3, 1968.
- [8] В. И. Залкинд, В. В. Кириллов, А. П. Нефедов, Е. И. Новиков, Д. Н. Юндов. Сб. «Магнитогидродинамический метод получения электроэнергии», вып. 2. Изд. «Энергия», М., 1972.
- [9] С. Э. Фриш. Оптические спектры атомов. Физматгиз. М.—Л., 1963.
- [10] И. А. Васильева, Л. В. Депутатова, А. П. Нефедов. Опт. и спектр., 33, 825, 1972.
- [11] Г. Шлихтинг. Теория пограничного слоя. Изд. «Наука», М., 1967.

Поступило в Редакцию 7 августа 1972 г.